Zeitschrift: Bulletin des Schweizerischen Elektrotechnischen Vereins, des

Verbandes Schweizerischer Elektrizitätsunternehmen = Bulletin de l'Association suisse des électriciens, de l'Association des entreprises

électriques suisses

Herausgeber: Schweizerischer Elektrotechnischer Verein; Verband Schweizerischer

Elektrizitätsunternehmen

Band: 67 (1976)

Heft: 22

Artikel: Der Schutzbereich von Überspannungsableitern bei einem

Ferneinschlag

Autor: Brauner, G.

DOI: https://doi.org/10.5169/seals-915236

Nutzungsbedingungen

Die ETH-Bibliothek ist die Anbieterin der digitalisierten Zeitschriften auf E-Periodica. Sie besitzt keine Urheberrechte an den Zeitschriften und ist nicht verantwortlich für deren Inhalte. Die Rechte liegen in der Regel bei den Herausgebern beziehungsweise den externen Rechteinhabern. Das Veröffentlichen von Bildern in Print- und Online-Publikationen sowie auf Social Media-Kanälen oder Webseiten ist nur mit vorheriger Genehmigung der Rechteinhaber erlaubt. Mehr erfahren

Conditions d'utilisation

L'ETH Library est le fournisseur des revues numérisées. Elle ne détient aucun droit d'auteur sur les revues et n'est pas responsable de leur contenu. En règle générale, les droits sont détenus par les éditeurs ou les détenteurs de droits externes. La reproduction d'images dans des publications imprimées ou en ligne ainsi que sur des canaux de médias sociaux ou des sites web n'est autorisée qu'avec l'accord préalable des détenteurs des droits. En savoir plus

Terms of use

The ETH Library is the provider of the digitised journals. It does not own any copyrights to the journals and is not responsible for their content. The rights usually lie with the publishers or the external rights holders. Publishing images in print and online publications, as well as on social media channels or websites, is only permitted with the prior consent of the rights holders. Find out more

Download PDF: 20.11.2025

ETH-Bibliothek Zürich, E-Periodica, https://www.e-periodica.ch

Der Schutzbereich von Überspannungsableitern bei einem Ferneinschlag

Von G. Brauner

621,316,933

Durch einen Ferneinschlag entsteht im Vergleich zu einem Naheinschlag eine relativ geringe Belastung der Ableiter. Der Schutzbereich von Ableitern für Leitungsabzweige wird bestimmt durch das Wellenwiderstandsverhältnis von Freileitung und Abzweig, die Wellenform und die Amplitude der einlaufenden Überspannungswelle sowie die Eigenschaften des Ableiters. Eine systematische Variation dieser Parameter führt zu der Erkenntnis, dass der Schutzbereich von Ableitern für metallgekapselte Rohrleiter und Kabelabzweige unendlich gross sein kann, wenn die Isolation der Freileitung knapp bemessen ist.

Comparativement aux coups de foudre directs proches, ceux qui sont éloignés ne sollicitent que relativement peu les parafoudres. L'étendue de protection de parafoudres pour embranchements de lignes aériennes est déterminée par le rapport entre l'impédance caractéristique de la ligne et celle de l'embranchement, la forme et l'amplitude de l'onde de surtension arrivante, ainsi que par les propriétés du parafoudre. Une variation systématique de ces paramètres montre que l'étendue de protection des parafoudres peut être infiniment grande, lorsque les embranchements sont en conducteurs blindés ou en câbles et que l'isolement de la ligne aérienne est faiblement dimensionné.

1. Einleitung

Als Schutzbereich bezeichnet man die maximal zulässige Entfernung zwischen Ableiter und zu schützendem Objekt. Die Grösse des Schutzbereiches hängt von mehreren Faktoren ab, wie dem Wellenwiderstandsverhältnis von Freileitung und ableitergeschütztem Leitungsabgang, der Wellenform und der Amplitude der einlaufenden Überspannungswelle sowie den Ableitereigenschaften selbst. Nur unter vereinfachenden Annahmen ist eine formelmässige Beschreibung möglich. Bei komplizierteren Anordnungen und Wellenformen ist man zur numerischen Berechnung gezwungen.

Bisher sind vor allem zwei Anordnungen untersucht worden, die am Ende offene Freileitung mit einem Ableiter im Abstand I vom Leitungsende [1; 2]¹) und der ableitergeschützte Kabelabzweig [3]. Beide Konfigurationen entstehen, wenn ein Abzweig in einer Schaltanlage von der Sammelschiene abgetrennt wird. Mit zunehmender Verbreitung von metallgekapselten SF6-isolierten Anlagen in den letzten zehn Jahren ist eine dritte Konfiguration möglich geworden, der ableitergeschützte metallgekapselte Rohrleiter. Auch hier ist nur ein Ableiter an der Übergangsstelle zur Freileitung vorhanden. Es interessiert, bis zu welchen Rohrlängen der Schutz bei einem Ferneinschlag ausreichend ist.

In [4] wird eine gekapselte UHV-Schaltanlage bei einem Ferneinschlag untersucht und mit einer Freiluftschaltanlage verglichen, die ebenfalls nur an den Freileitungsabgängen geschützt ist. Die gekapselte Anlage verhält sich vor allem wegen der kleineren Abmessungen und des geringeren Wellenwiderstandes günstiger als eine Freiluftanlage. Da in gekapselten

1) Siehe Literatur am Schluss des Aufsatzes.

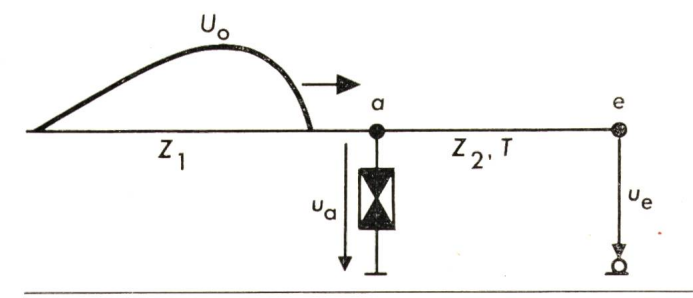


Fig. 1 Anordnung zur Berechnung des Schutzbereiches von Ableitern bei einem Ferneinschlag

- Z₁ Wellenwiderstand der Freileitung
- Z₂ Wellenwiderstand des Abzweiges
- T Laufzeit des Abzweiges
- U₀ Amplitude der einlaufenden Welle
- ua Spannung am Ableiterstandort
- $u_{\rm e}$ Spannung am Ende des Abzweigers

Anlagen die Ausbreitungsgeschwindigkeit gleich der Lichtgeschwindigkeit ist, ergeben sich auch grössere Schutzbereiche als bei Anlagen mit Kabeleinführung, vorausgesetzt der Wellenwiderstand bleibt gleich.

2. Die untersuchte Anordnung

Im folgenden soll das Verhalten unterschiedlicher Abzweige bei einem Ferneinschlag systematisch untersucht werden. Bei einem Ferneinschlag ist die Einschlagstelle so weit vom Ableiterstandort entfernt, dass Reflexionen an der Einschlagstelle im Betrachtungszeitraum keinen Beitrag zur Spannungsentwicklung leisten. Im Vergleich zu einem Naheinschlag entsteht eine geringere Spannungsbeanspruchung. Die grossen Laufzeiten der Überspannungswelle auf der Freileitung bewirken, dass die Stirnzeit durch Erdeinfluss und Korona immer im Mikrosekundenbereich liegt. Die Ableiter sprechen daher bei ihrer Nennansprechspannung an. Ausserdem ist durch die Pegelung der Freileitungsisolation die Amplitude der Welle begrenzt. Hierdurch bleibt der Ableitstrom bei allen Anordnungen unterhalb des Nennableitstromes von 10 kA.

Um die Ergebnisse in allgemeingültiger normierter Form zu erhalten, werden die folgenden Vereinfachungen getroffen:

- 1. Die Steigung der *u*, *i*-Kennlinie des Ableiters im Arbeitspunkt ist vernachlässigbar.
- Die Leitungsabzweige sind dämpfungs- und verzerrungsfrei.
- 3. Die einlaufenden Wellen sind durch die Differenz zweier Exponentialfunktionen darstellbar.

$$u = U_0 (e^{-at} - e^{-bt})$$

Die letzte Annahme ist bei einem Ferneinschlag gut erfüllt, da infolge der langen Laufzeiten alle höherfrequenten Anteile stark gedämpft sind.

Fig. 1 zeigt die untersuchte Anordnung. Variiert wird das Wellenwiderstandsverhältnis Z_1/Z_2 , die Länge des Abzweiges in Laufzeiteinheiten T, die Stirnzeit $t_{\rm S}$, die Rückenhalbwertszeit $t_{\rm R}$ und die Amplitude U_0 der einlaufenden Welle und die Ansprechspannung $U_{\rm AN}$ des Ableiters. Das Wellenwiderstandsverhältnis hat die Werte $Z_1/Z_2=1$; 2; 5; 10.

Bei Werten des Wellenwiderstandes von 250...500 Ω für Freileitungen, von 60...75 Ω für metallgekapselte Rohrleiter und 20...40 Ω für Energiekabel ist damit die Realisierung folgender Fälle möglich:

– Übergang Freileitung-Freileitung. Das Wellenwiderstandsverhältnis ist 1 bei gleichartigen und 2 bei verschiedenartigen Leitungen (z. B. Freileitungs-Sammelschiene).

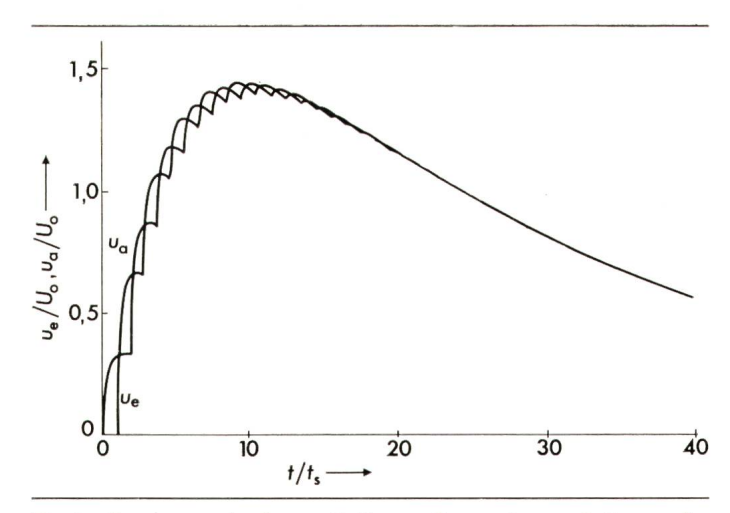


Fig. 2 Spannungsverlauf u_a am Leitungsanfang und u_e am Leitungsende ohne Ansprechen des Ableiters

 $Z_1/Z_2 = 5$, $t_S/t_R = 1/20$, $T/t_S = 1$

ts Stirnzeit

t_R Rückenhalbwertszeit

t Zeit

- Übergang Freileitung–SF₆-Rohr. Hier ist $Z_1/Z_2=5...10$ möglich.
 - Übergang Freileitung-Kabel mit einem Verhältnis von 10.
- Mehrfachabgänge gleicher Laufzeit. Sie können wie ein Abgang behandelt werden. Das Wellenwiderstandsverhältnis bestimmt sich bei n unterschiedlichen Abgängen zu

$$Z_1/Z_2 = Z_1 \sum_{i=1}^{n} 1/Z_i.$$

Das Verhältnis kann alle Werte > 1 annehmen.

3. Selbstschutz und Fremdschutz

Das Wellenwiderstandsverhältnis sei $Z_1/Z_2 > 1$, und der Ableiter möge nicht ansprechen. Durch Brechung und Reflexion an der Übergangsstelle a (Fig. 1) baut sich die Spannung stufenförmig auf. Dieses Verhalten kann als Selbstschutz des Abzweigs bezeichnet werden. Fig. 2 und Fig. 3 zeigen die Zeitfunktion der Spannungen u_a am Ableiterstandort und u_e am Leitungsende für diesen Fall. In Fig. 2 sind Stirnzeit ts und einfache Laufzeit T des Leitungsabgangs gleich gross. Die normierte Welle hat die Form 1/20 in beliebigen Zeiteinheiten. Das Wellenwiderstandsverhältnis ist $Z_1/Z_2 = 5$. Nach jeweils der doppelten Laufzeit 2 T addiert sich eine Teilreflexion. Infolge der endlichen Rückenhalbwertszeit ist die maximale Amplitude nur 1,45 · U_0 . Fig. 3 zeigt den gleichen Vorgang bei zehnfacher Leitungslaufzeit. Hier erreicht die Spannung am Leitungsende einen Maximalwert von nur $0.75 \cdot U_0$, da die Überlagerung erst erfolgt, wenn die Amplitude der einlaufenden Welle bereits auf den halben Scheitelwert abgesunken ist.

Beide Bilder zeigen, dass die Grenzbedingung für den Übergang zum Selbstschutz bei gegebener Leitungslaufzeit und Wellenform vom Verhältnis $U_{\rm AN}/U_0$ abhängt. Im ersten Fall muss $U_{\rm AN}/U_0 > 1,45$ sein, im zweiten > 0,75.

Spricht der Ableiter an, so kann dies als Fremdschutz des Abzweiges bezeichnet werden. Die maximal mögliche Spannungsdifferenz zwischen Ableiterstandort und Leitungsende ist dann die doppelte Amplitude einer Teilreflexion. Die Spannung am Ende erreicht den doppelten Wert der Ansprechspannung, wenn der Ableiter bereits innerhalb der Stirnzeit der Welle anspricht und wenn zum Ansprechzeitpunkt die Reflexion vom Leitungsende den Ableiterstandort noch nicht erreicht hat.

In Fig. 4 sind die Maximalwerte $u_{\rm e}/U_0$ der normierten Spannung am Leitungsende bei gleichem Wellenwiderstandsverhältnis und gleicher Wellenform wie in Fig. 2 und 3 als Funktion der normierten Laufzeit aufgetragen. Parameter ist die Ansprechspannung des Ableiters. Der Brechungsfaktor d an der Stoßstelle beider Leitungen hat für Wellen, die von der Freileitung einwandern, einen Wert von d=2 $Z_2/(Z_1+Z_2)$.

Bei grossen Leitungslaufzeiten $T \gg t_R$, und wenn der Ableiter nicht anspricht, entsteht als maximale Spannung am Leitungsende $u_e = 0,66 \cdot U_0$. Spricht der Ableiter innerhalb der Stirnzeit der Welle an, d. h. wenn $U_{\rm AN}/U_0 \le 0,33$ ist, so erreicht die Spannung am Ende bei grossen Laufzeiten den doppelten Wert der Ansprechspannung. Bei kleineren Leitungslängen haben sich bereits vom Leitungsende her kommende Teilreflexionen am Ableiterstandort mit der gebrochenen Welle überlagert, bevor der Ableiter anspricht. Die Spannungsdifferenz zwischen Leitungsende und Ableiterstandort nimmt daher mit der Leitungslaufzeit zu und erreicht maximal die zweifache Amplitude einer Teilreflexion. Für diesen Bereich gilt die klassische Definition des Schutzbereiches.

Je grösser das Verhältnis $U_{\rm AN}/U_0$ wird, um so später spricht der Ableiter an, da dann mehrere Teilreflexionen nötig sind. Die Spannungsdifferenz zwischen Leitungsende und -anfang nimmt ab. Dadurch vergrössert sich der Schutzbereich. Bei $U_{\rm AN}/U_0=1,5$ ist der grösste Wert $u_{\rm e}/U_{\rm AN}$ nur noch 1,07. Wird die Laufzeit $T/t_{\rm S}$ entsprechend gross, wenn gleichzeitig $U_{\rm AN}/U_0 \ge 0,33$ ist, oder ist $U_{\rm AN}/U_0 \ge 2$, so spricht der Ableiter nicht mehr an. Die obere Hüllkurve beinhaltet diesen Fall. Der Abgang ist vom Fremdschutz durch einen Ableiter zum Selbstschutz durch den Wellenwiderstandssprung übergegangen. In der Hüllkurve von Fig. 4 sind die Maximalwerte von Fig. 2 und 3 durch Kreise markiert.

Es ist leicht einzusehen, dass bei $Z_1/Z_2=1$ bei vernachlässigbarer Dämpfung nie ein Selbstschutz vorliegen kann. Wenn der Ableiter nicht anspricht, erreicht die Spannung am Leitungsende immer den doppelten Amplitudenwert der einlaufenden Welle. Fig. 5 zeigt dies für $Z_1/Z_2=1$ bei gleicher Wellenform 1/20.

4. Der Schutzbereich bei metallgekapselten Rohrleitern

Obgleich aus Fig. 4 und 5 gut abzulesen ist, ob ein Ableiter ansprechen wird, ist der Schutzbereich nur indirekt zu ermitteln. Günstiger ist daher eine Darstellungsweise, die die Spannung u_e am Leitungsende auf die Ansprechspannung $U_{\rm AN}$ des Ableiters bezieht. Fig. 6 und 7 zeigen die Werte von Fig. 4 und

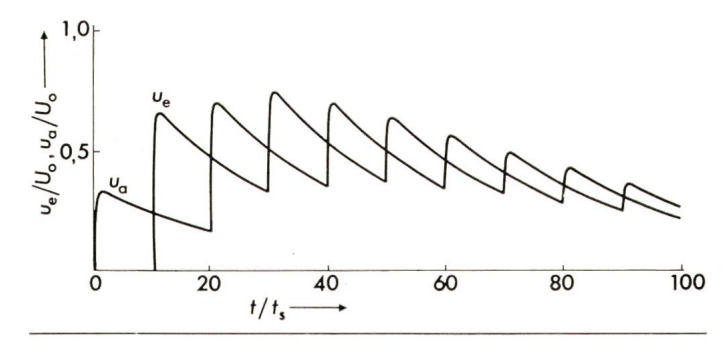


Fig. 3 Spannungsverlauf u_a am Leitungsanfang und u_e am Leitungsende ohne Ansprechen des Ableiters

 $Z_1/Z_2 = 5$, $t_s/t_R = 1/20$, $T/t_S = 10$

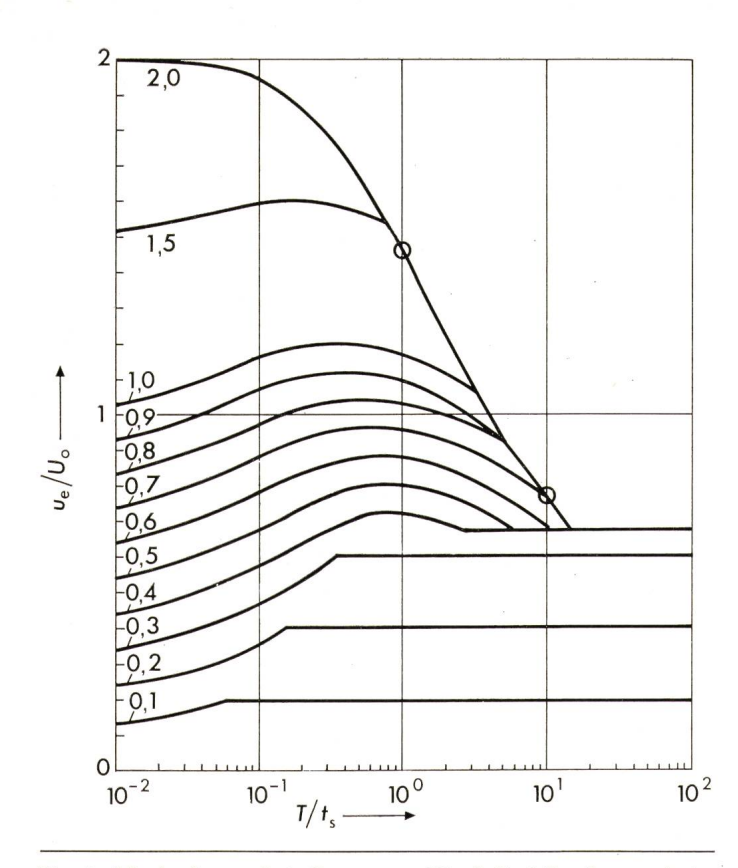


Fig. 4 Maximale normierte Spannung $u_{\rm e}/U_0$ als Funktion der normierten Laufzeit $T/t_{\rm S}$ $Z_1/Z_2=5,\ t_{\rm S}/t_{\rm R}=1/20,\ {\rm Parameter}\ U_{\rm AN}/U_0$

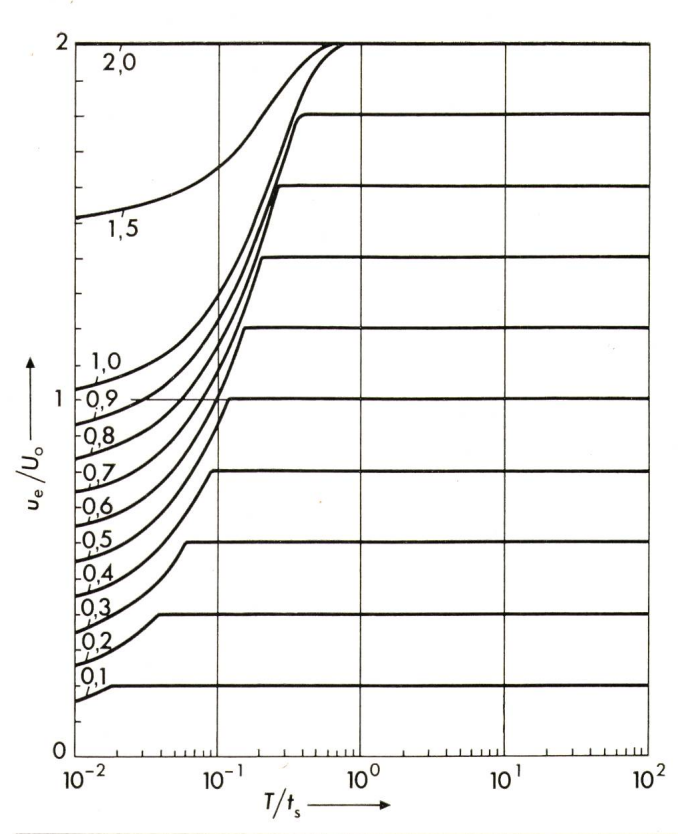


Fig. 5 Maximale normierte Spannung $u_{\rm e}/U_0$ als Funktion der normierten Laufzeit $T/t_{\rm S}$ $Z_1/Z_2=1,\; t_{\rm S}/t_{\rm R}=1/20,\; {\rm Parameter}\;\; U_{\rm AN}/U_0$

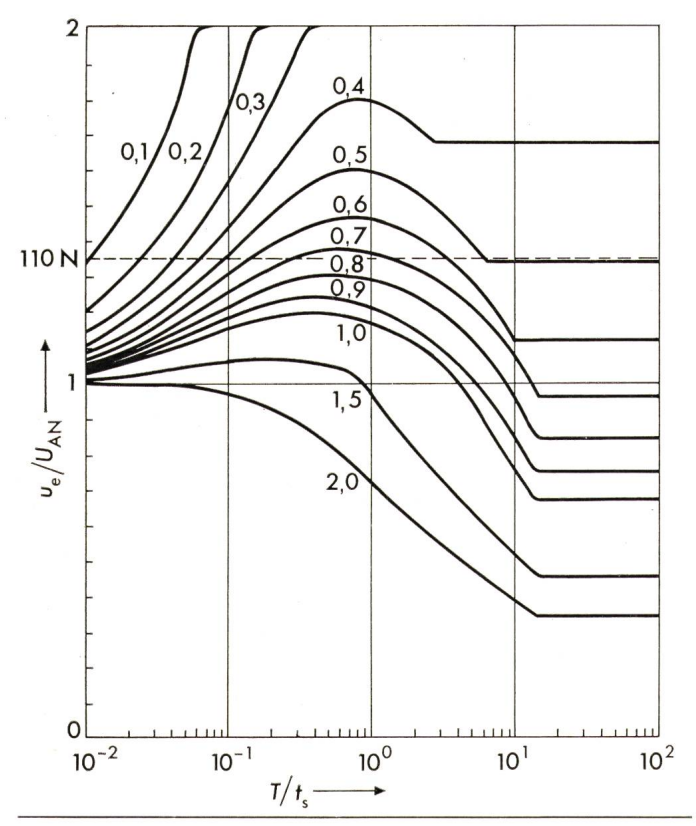


Fig. 6 Diagramm zur Bestimmung des Schutzbereiches $Z_1/Z_2=5,\ t_{\rm S}/t_{\rm R}=1/20,\ {\rm Parameter}\ U_{\rm AN}/U_0$

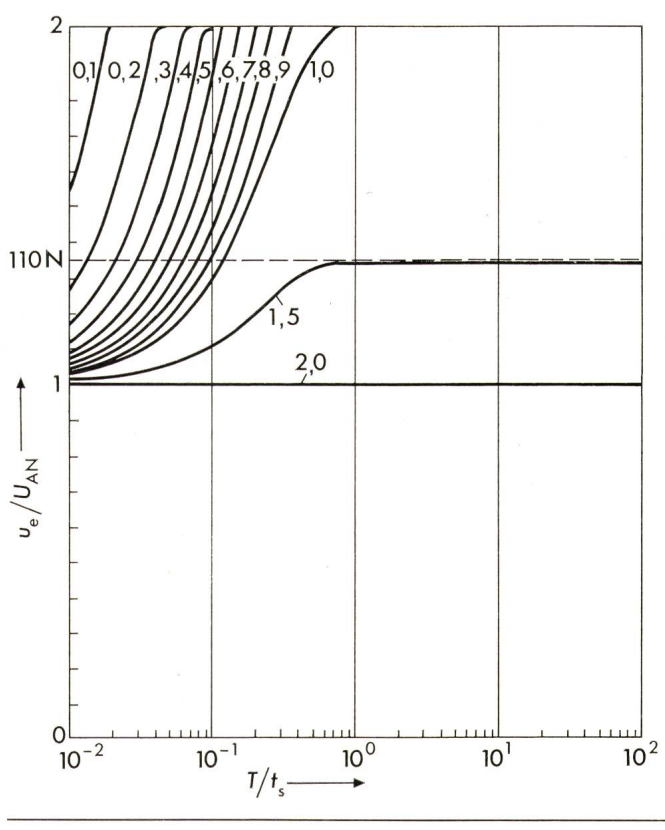


Fig. 7 Diagramm zur Bestimmung des Schutzbereiches $Z_1/Z_2=1,\ t_{\rm S}/t_{\rm R}=1/20,\ {\rm Parameter}\ U_{\rm AN}/U_0$

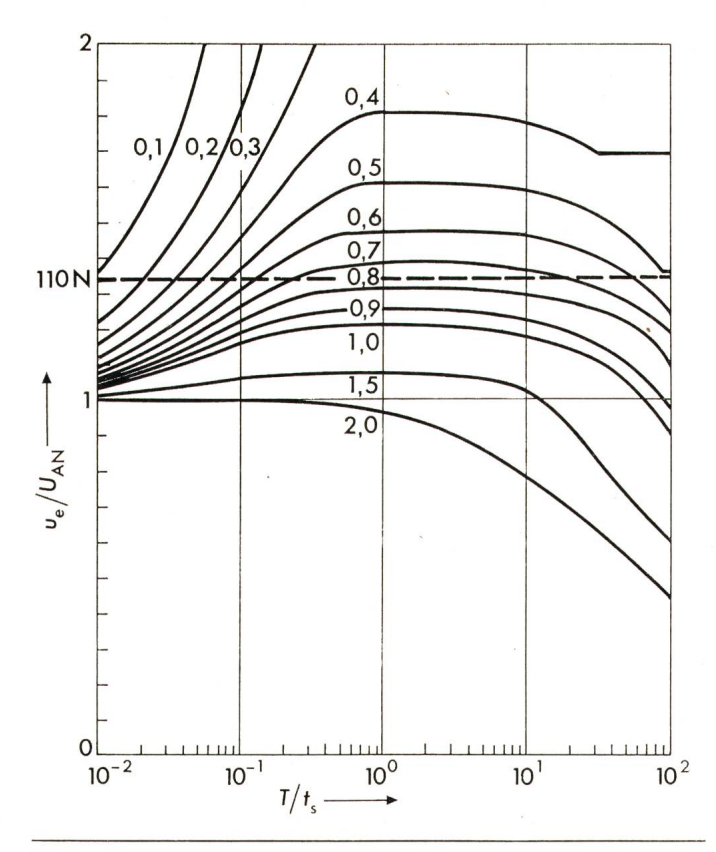
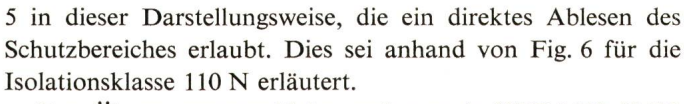


Fig. 8 Diagramm zur Bestimmung des Schutzbereiches $Z_1/Z_2 = 5$, $t_{\rm S}/t_{\rm R} = 1/300$, Parameter $U_{\rm AN}/U_0$



Der Überspannungsableiter möge nach VDE 0675 (5.7)2 eine 100%-Blitzstoss-Ansprechspannung von 410 kV (1,2/50 μ s) haben. Der untere Stosspegel ist 550 kV, der obere 630 kV. Betrachtet wird wieder der Übergang Freileitungmetallgekapselter Rohrleiter mit $Z_1/Z_2=5$. Als Zeitnormierungsfaktor sei $t_8=1$ μ s gewählt. Dann gilt Fig. 6 für eine Wellenform von 1/20 μ s und die Laufzeit der Leitungen ist dann ebenfalls in Einheiten von μ s. Der Schutzbereich des Ableiters bezüglich des metallgekapselten Rohrleiters ist festgelegt durch das Verhältnis

$$u_{\rm e \, max}/U_{\rm AN} = 550 \, {\rm kV}/410 \, {\rm kV} = 1,34.$$

Dieser Wert ist in Fig. 6 durch eine horizontale unterbrochene Linie markiert. Für jeden Wert von $U_{\rm AN}/U_0$ kann der Schutzbereich abgelesen werden. Da die einlaufende Welle bei einem Ferneinschlag maximal einen Scheitelwert U_0 von der Grösse des Isolationspegels der Freileitung erreichen kann, der bei 550 kV liegen soll, sind nur Werte von $U_{\rm AN}/U_0 \ge 0.75$ möglich. Das bedeutet, dass der Schutzbereich bei einer Stossform von 1/20 unendlich gross ist.

Bei einem erhöhten Isolationspegel der Freileitung ergibt sich ein Bereich einer kritischen Rohrlänge, in dem ein Schutz durch einen Ableiter allein nicht mehr möglich ist. Wird als Isolationspegel 800 kV gewählt, so ist ein Verhältnis $U_{\rm AN}/U_0 \ge 0,51$ möglich. In diesem Fall versagt bei einer Rohrlaufzeit T>0,09 µs der Schutz durch den Ableiter, und erst ab Laufzeiten von 6 µs setzt der Selbstschutz ein. Hieraus ergibt

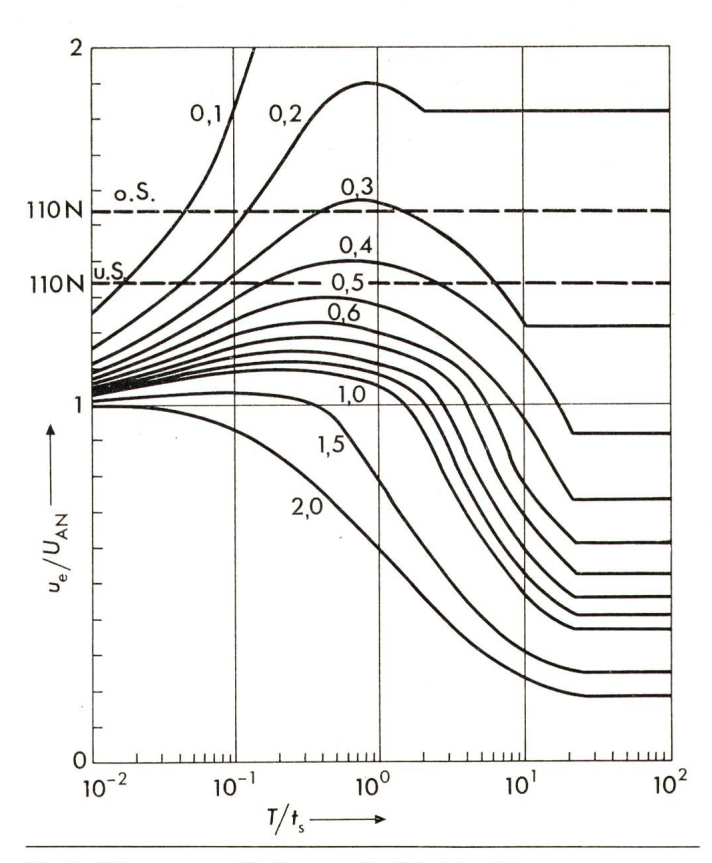


Fig. 9 Diagramm zur Bestimmung des Schutzbereiches

 $Z_1/Z_2 = 10$, $t_S/t_R = 1/20$

o. S.: Dimensionierung nach oberem Stosspegel von 630 kV

u. S.: Dimensionierung nach unterem Stosspegel von 550 kV

sich für metallgekapselte Rohrleiter bei einer Wellenform 1/20 µs ein kritischer Bereich von 27 bis 1800 m, wobei die untere Grenze durch die Stirnzeit der Welle, die obere durch die Rückenhalbwertszeit festgelegt ist, und somit vom Zeitnormierungsfaktor /s abhängen. In diesem kritischen Längenbereich ist ein ausreichender Schutz nur durch einen zweiten Ableiter möglich, der am Rohrende angeordnet ist. Bei grösseren Rückenhalbwertszeiten verschiebt sich die obere Grenze der kritischen Rohrlänge zu grösseren Laufzeiten, wie Fig. 8 für eine Wellenform 1/300 bei sonst gleichen Bedingungen zeigt.

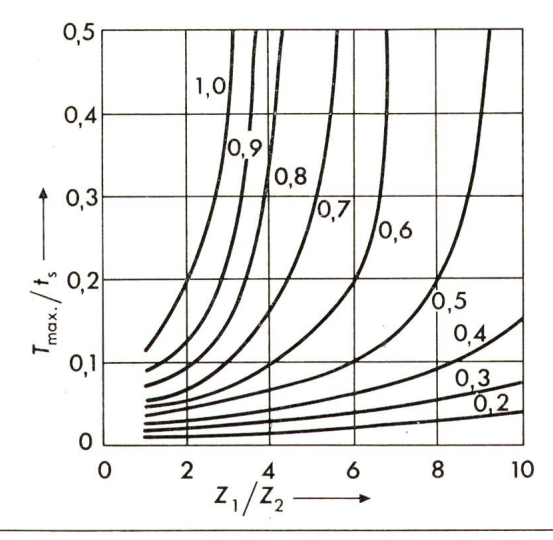


Fig. 10 Normierter Schutzbereich $T_{\rm max}/t_{\rm S}$ als Funktion des Wellenwiderstandsverhältnisses Z_1/Z_2 für die Wellenform 1/200 Parameter $U_{\rm AN}/U_0$

5. Vergleich der Schutzbereiche von unterschiedlichen Abzweigen

Für einen ableitergeschützten Freileitungsabgang gibt es nach Fig. 7 nur eine untere Grenze für den Schutzbereich. Bei einer Pegelung der vorgelagerten Freileitung von 550 kV und 1 μs Stirnzeit der Welle ist der Schutzbereich 20 m, bei einer Pegelung von 800 kV nur 12 m.

Da die Dimensionierung von Kabeln nach dem oberen Stosspegel erfolgt, gilt $u_{\rm e\,max}/U_{\rm AN}=630~{\rm kV}/410~{\rm kV}=1,54.$

Nach Fig. 9 ergibt sich dann bei $Z_1/Z_2=10$ und gleicher Wellenform 1/20 wie bisher, dass $U_{\rm AN}/U_0 \ge 0,31$ sein muss. Selbst bei einem Isolationspegel der Freileitung von 1,3 MV ist dann der Schutzbereich unendlich gross. Würde die Dimensionierung nach dem unteren Stosspegel erfolgen, so wäre für die Freileitung immer noch ein Pegel von 900 kV zulässig.

Im folgenden soll allein die untere Grenze der maximal zulässigen Leitungslänge bei einer Dimensionierung nach dem unteren Stosspegel betrachtet werden. In Fig. 10 ist der normierte Schutzbereich $T_{\rm max}/t_{\rm S}$ als Funktion des Wellenwiderstandsverhältnisses dargestellt mit $U_{\rm AN}/U_0$ als Parameter. Die einlaufende Welle hat die ungünstigere Form 1/200.

Günstiges Verhalten zeigt ein Kabelabgang mit $Z_1/Z_2=10$, bei dem bereits bei $U_{\rm AN}/U_0 \ge 0,45$ der Schutzbereich unendlich gross ist, d. h. selbst bei einem Stosspegel der Freileitung von 900 kV genügt ein Ableiter an der Stoßstelle beider Leitungen.

Bei einem metallgekapselten Abgang mit $Z_1/Z_2 = 5$ ist bei $U_{\rm AN}/U_0 \ge 0.75$ der Schutzbereich unendlich gross, d. h. bei normaler Pegelung der 110-kV-Freileitung von 550 kV.

Sehr ungünstiges Verhalten zeigt ein Freileitungsabgang mit $Z_1/Z_2 = 1$. Bei normaler Pegelung der Freileitung ist der Schutzbereich nur 12 m gross, wenn $t_{\rm S} = 1$ µs ist.

6. Schlussfolgerung

Die vorliegenden Untersuchungen zeigen, dass durch einen Ferneinschlag nur ungefährliche Überspannungen in einem Kabelabzweig und einem metallgekapselten Abzweig entstehen können, da die vorgelagerte Freileitung entsprechend ihrem Isolationspegel die Amplitude der einlaufenden Welle begrenzt. Ausserdem spricht der Ableiter immer bei seiner Nennansprechspannung an, da Erdeinfluss und Korona die Stirnzeit der Welle vergrössern. Gefährliche Überspannungen können nur in einem Freileitungsabgang entstehen oder in einem gekapselten Abgang, wenn für die Freileitung ein erhöhter Isolationspegel gewählt wird.

Literatur

- [1] G. Pfeiffer und B. Koch: Ermittlung des Überspannungsschutzes von Energieversorgungsanlagen mit Hilfe von Digitalrechnern. Energietechnik 18(1968)10, S. 462...465.
- [2] G. Pfeiffer und B. Koch: Überspannungen am offenen Ende eines Leitungsabzweiges in ableitergeschützten Durchgangsstationen. Wissensch. Zeitschr. der Techn. Hochschule Ilmenau 14(1968)3, S. 295...300.
 [3] W. Waste: Überspannungsbeanspruchung von Stationen bei Kabeleinger.
- [3] W. Waste: Überspannungsbeanspruchung von Stationen bei Kabeleinführungen. Eine Literaturübersicht. Technischer Bericht der Studiengesellschaft für Hochspannungsanlagen -(1959)192.
- [4] W. Boeck: Metallgekapselte UHV-Schaltanlagen. ETZ-A 92(1971)12, S. 698...702.

Adresse des Autors

Dipl.-Ing. $G.\ Brauner$, Institut für Hochspannungs- und Messtechnik der TH Darmstadt, Schlossgraben 1, D-6100 Darmstadt.

Harry Ward Leonard 1861-1915

Wenn Sie in einem Hochhaus dem Lift entsteigen und sich über die rasche und stossfreie Fahrt freuen, dann ist es wahrscheinlich, dass dieser Aufzug einen «Ward-Leonard Antrieb» besitzt. Darunter versteht man eine aus Drehstrommotor, Gleichstromgenerator und Erreger bestehende Gruppe, die den Gleichstromantriebsmotor speist. Diese Schaltung wurde 1891 von H.W. Leonard angegeben.

Harry Ward Leonard wurde am 8. Februar 1861 in Cincinnati als Sohn eines Kaufmanns englischer Abstammung geboren. (Sein zweiter Vorname ist der Mädchenname seiner Mutter.) Er studierte von 1879 bis 1883 am Massachusetts-Institute of Technology und trat darauf seine erste Stelle bei Edison an, wo er bei der Erstellung «elektrischer Zentralstationen» in den wichtigsten Städten des Landes mithalf. 1888 wurde er Chef der Western Electric Light Company in Chicago. Kurz darauf gründete er mit einem Associé die Firma Leonard & Izard, die aber schon im folgenden Jahr von der Edison-General-Electric aufgekauft wurde. 1894 eröffnete er in der Nähe New Yorks die noch heute bestehende Ward-Leonard Electric Company zur Ausbeutung seiner eigenen Erfindungen. Dazu gehörten u. a. ein Zugbeleuchtungssystem, bei dem eine von der Lokomotive aus gespiesene, im unmittelbar folgenden Gepäckwagen installierte kleine Dampfmaschine einen Generator antrieb, an die die ganze Zugbeleuchtung angeschlossen war. Eine der wichtigsten Erfindungen war dann die erwähnte Ward-Leonard Schaltung, die ausser für Aufzüge in Hochhäusern, für Antriebe von Walzwerken und Papiermaschinen noch heute üblich ist, erlaubt sie doch unter Vermeidung von grossen Verlusten einen ausserordentlich weiten Regelbereich der Drehzahl.

Unter seinen über 100 Patenten seien noch die Rekuperationsbremse für Bahnen und Grubenaufzüge, sowie die Vielfachsteuerung für Gleichstrombahnen erwähnt. Die letztere erlaubte eine Rationalisierung der Vorortbahnen, indem die von einem einzigen Lokführer der Stammlinie geführten Züge an den Verzweigungspunkten aufgeteilt und von dort aus getrennt bemannt wurden. Dabei wurde sowohl für die Teilzüge wie für den langen Zug eine grosse Beschleunigung erreicht.



James T.White+Co., Clifton (NJ)

Leonard entwickelte auch den Beleuchtungsdynamo und den Anlasser für Automobile. Er empfing viele Ehrungen; war von 1893–1895 Vizepräsident des American Institute of Electrical Engineers und eine Zeitlang Gemeindepräsident von Bronxville, wo früher seine Fabrik stand. Am 18. Februar 1915 starb er während eines Essens der AIEE in New York. Nachkommen hatte er keine.

H. Wüger